

ISSN 0514—7506

ЖУРН
АЛ
ПРИКЛАДНОЙ
СПЕКТРОСКОПИИ

JOURNAL
OF APPLIED
SPECTROSCOPY

<http://imaph.bas-net.by/JAS>

2

МАРТ — АПРЕЛЬ
2009

ТОМ 76

**ФОТОЛЮМИНЕСЦЕНЦИЯ МОНОКРИСТАЛЛОВ CuInS₂,
ВЫРАЩЕННЫХ МЕТОДОМ НАПРАВЛЕННОЙ КРИСТАЛЛИЗАЦИИ
И ИЗ ГАЗОВОЙ ФАЗЫ**

А. В. Мудрый ^{a*}, А. В. Короткий ^a, М. В. Якушев ^b, Р. Мартин ^b

УДК 535.37:548

^a Научно-практический центр НАН Беларусь по материаловедению,

220072, Минск, ул. П. Бровки, 19; e-mail: mudryi@iftp.bas-net.by

^b Университет Стратклайд, Глазго, Великобритания

(Поступила 4 сентября 2008)

При температурах 4.2, 78 и 300 К исследована фотолюминесценция монокристаллов полупроводниковых соединений CuInS₂, выращенных методом направленной кристаллизации (THM) и из газовой фазы (CVT). В области края фундаментального поглощения для обоих типов монокристаллов обнаружено интенсивное излучение, обусловленное свободными и связанными экситонами. На основании энергетического положения линий люминесценции основного ($n = 1$) и первого возбужденного ($n = 2$) состояний оценена энергия связи свободных A-экситонов, составившая ~19.7 и 18.5 мэВ для монокристаллов CuInS₂, выращенных методами CVT и THM.

Ключевые слова: CuInS₂, фотолюминесценция, экситон.

The photoluminescence of CuInS₂ single crystals grown by both the traveling heater method (THM) and that of the chemical vapor transport (CVT) has been investigated at 4.2, 78, and 300 K. In the near-band-edge region, the intense emission caused by free and bound excitons has been detected for both types of crystals. Taking into account the energy position of a luminescence line of ground ($n = 1$) and first excited ($n = 2$) states, the binding energy for free A excitons has been estimated to be about 19.7 meV and 18.5 meV for CuInS₂ grown by CVT and THM, respectively.

Keywords: CuInS₂, photoluminescence, exciton.

Введение. Трехкомпонентное соединение CuInS₂ со структурой халькопирита — один из основных полупроводниковых материалов, используемых для создания высокоэффективных фотопреобразователей солнечной энергии [1, 2]. Значение ширины запрещенной зоны $E_g \approx 1.55$ эВ, оптимально приближенное к максимуму спектрального излучения солнца, высокий коэффициент собственного поглощения $\alpha \sim 10^5$ см⁻¹ и наличие высокой химической и термической стабильности позволяют отнести полупроводниковое соединение CuInS₂ к наиболее привлекательным материалам для создания дешевых высокоэффективных солнечных элементов [3, 4]. Однако для усиления роли соединений CuInS₂ в солнечной фотоэнергетике, развивающейся на основе полупроводников группы A^IB^{III}C^{VI}₂ со структурой халькопирита, требуется более детальный анализ их физических свойств, особенно оптических. В настоящей работе впервые проведен сравнительный анализ люминесцентных свойств в области края фундаментального поглощения высококачественных монокристаллов CuInS₂, выращенных методом направленной кристаллизации при наличии градиента температуры и из газовой фазы.

PHOTOLUMINESCENCE OF CuInS₂ SINGLE CRYSTALS GROWN BY TRAVELING HEATER AND CHEMICAL VAPOR TRANSPORT METHODS

A. V. Mudryi ^{a*}, A. V. Karotki ^a, M. V. Yakushev ^b, and R. Martin ^b (Scientific-Practical Material Research Centre of the National Academy of Sciences of Belarus, 19 P. Brovka Str., Minsk, 220072, Belarus; e-mail: mudryi@iftp.bas-net.by; ^b Strathclyde University, Glasgow, UK)

Эксперимент. Высококачественные монокристаллы CuInS₂ выращены методом направленной кристаллизации при наличии градиента температуры с использованием индия в качестве растворителя (метод ТНМ) [5], а также из газовой фазы с использованием йода в качестве транспортного агента (метод CVT) [6, 7]. Химический состав элементов в кристаллах определялся методом локального рентгеноспектрального анализа и методом сканирующей оже-электронной спектроскопии. Химический состав (с точностью ± 0.2 ат. %) оказался следующим (ат. %): Cu 24.3, In 25.8, S 49.9 и Cu 24.8, In 25.2, S 50.0 для монокристаллов CuInS₂, выращенных методами ТНМ и CVT. Спектры фотолюминесценции (ФЛ) регистрировались со свежесколотых граней кристаллов CuInS₂. В качестве источника возбуждения использовался аргоновый лазер мощностью 200 мВт, работающий на $\lambda = 488$ нм. Анализ спектров проводился с помощью дифракционного монохроматора с фокусным расстоянием зеркального объектива $f = 0.6$ м и решеткой 1200 штр/мм. В качестве детектора оптических сигналов применялся фотоумножитель R74004-20 (Hamamatsu, Япония). Сигналы с детектора обрабатывались узкополосным низкочастотным усилителем и преобразовывались на основе метода синхронного детектирования с последующим аналого-цифровым преобразованием в постоянные сигналы. Спектры ФЛ при низких температурах регистрировались при непосредственном погружении исследуемых образцов в охлаждающую жидкость — азот (≈ 78 К) или гелий (4.2 К).

Обсуждение результатов. На рис. 1 представлены спектры ФЛ монокристаллов CuInS₂, выращенных методами CVT и ТНМ. Спектры зарегистрированы при температурах 4.2, 78 и 300 К со спектральным разрешением 0.2, 0.5 и 1.0 мэВ соответственно. В спектрах ФЛ обоих типов кристаллов при комнатной температуре наблюдается широкая полоса с максимумом в области 1.525 эВ и полушириной ≈ 60 мэВ, обусловленная оптическим переходом зона—зона. При 78 К в спектрах доминирует линия с максимумом 1.537 эВ и полушириной ≈ 8 мэВ, связанная с рекомбинацией свободных A -экстонов в основном состоянии ($n = 1$). Низкоэнергетический перегиб в области 1.532 эВ на контуре линии свободных экстонов относится к линии 2 связанных экстонов в соответствии с обозначениями [8—10]. Менее интенсивная высокоенергетическая линия, отстоящая на 15.7—16.2 мэВ от линии свободных A -экстонов, обусловлена рекомбинацией свободных A -экстонов, находящихся в первом ($n = 2$) и втором ($n = 3$) возбужденных состояниях. Соответствующие этим оптическим переходам линии не разрешаются при температуре 78 К. В отличие от [8, 9, 11] предполагается, что высокоенергетическая линия ФЛ в области 1.552 эВ

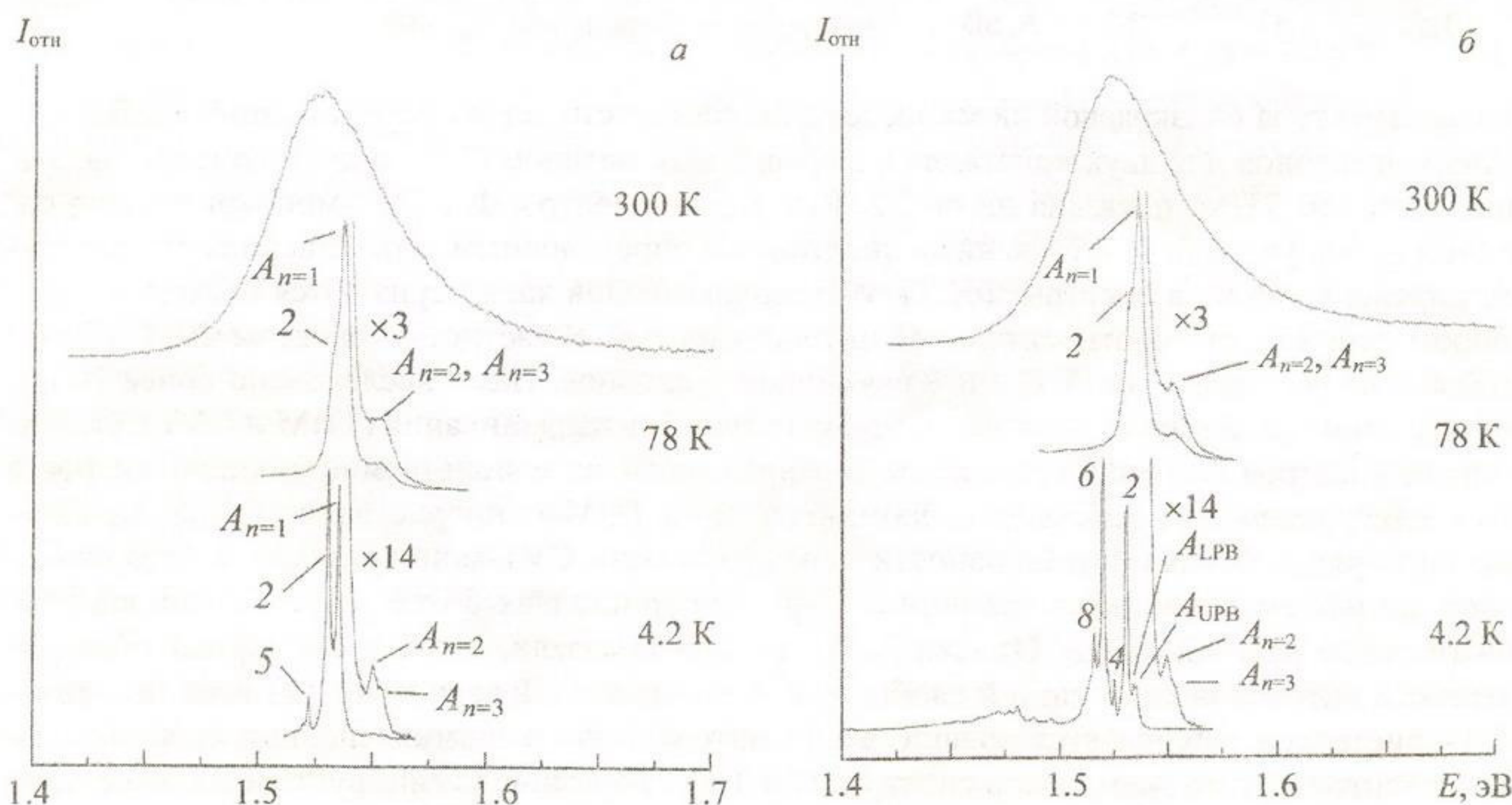


Рис. 1. Спектры фотолюминесценции монокристаллов CuInS₂, выращенных методами CVT (a) и ТНМ (б), зарегистрированные при различных температурах

при $T \geq 78$ К обусловлена рекомбинацией через возбужденные состояния $n = 1$ и $n = 2$ свободных A -экстонов, а не излучательной рекомбинацией через вырожденные BC -состояния валентной зоны, возникающие из-за спин-орбитального расщепления [11].

Наиболее отчетливо две линии возбужденных состояний свободных A -экстонов видны в спектрах ФЛ при 4.2 К (рис. 1). Кроме того, при 4.2 К в спектрах ФЛ (в зависимости от типа выращенных монокристаллов) видны те или иные линии связанных экстонов 1, 2, 4, 5, 6 и 8, обозначенные в соответствии с [8—10]. Отметим, что некоторые из этих линий ФЛ были обнаружены в работах [11—14]. Эксперименты для обоих типов кристаллов подтвердили, что линии свободных и связанных экстонов смещаются в высокоэнергетическую область при увеличении температуры от 4.2 до 78 К. В частности, в этом интервале температур линия свободных A -экстонов смещается на 1.8—2.0 мэВ, что согласуется с данными [8, 9, 11].

Физической причиной увеличения энергии свободных экстонов и, соответственно, ширины запрещенной зоны CuInS_2 в интервале температур 4.2—78 К является аномальная температурная зависимость $p-d$ -гибридизации орбиталей в группе полупроводниковых соединений $\text{A}^{\text{I}}\text{B}^{\text{III}}\text{C}^{\text{IV}}_2$. С повышением температуры от 4.2 К увеличивается межатомное расстояние в кристаллической решетке и уменьшается $p-d$ -гибридизация, что и приводит к увеличению ширины запрещенной зоны некоторых полупроводников со структурой халькопирита, в частности CuInSe_2 , AgGaS_2 , AgGaSe_2 и др. [15, 16]. Отметим, что приблизительно такое же увеличение (≈ 2 мэВ) ширины запрещенной зоны в интервале температур 4.2—78 К найдено нами для соединения CuInSe_2 [17].

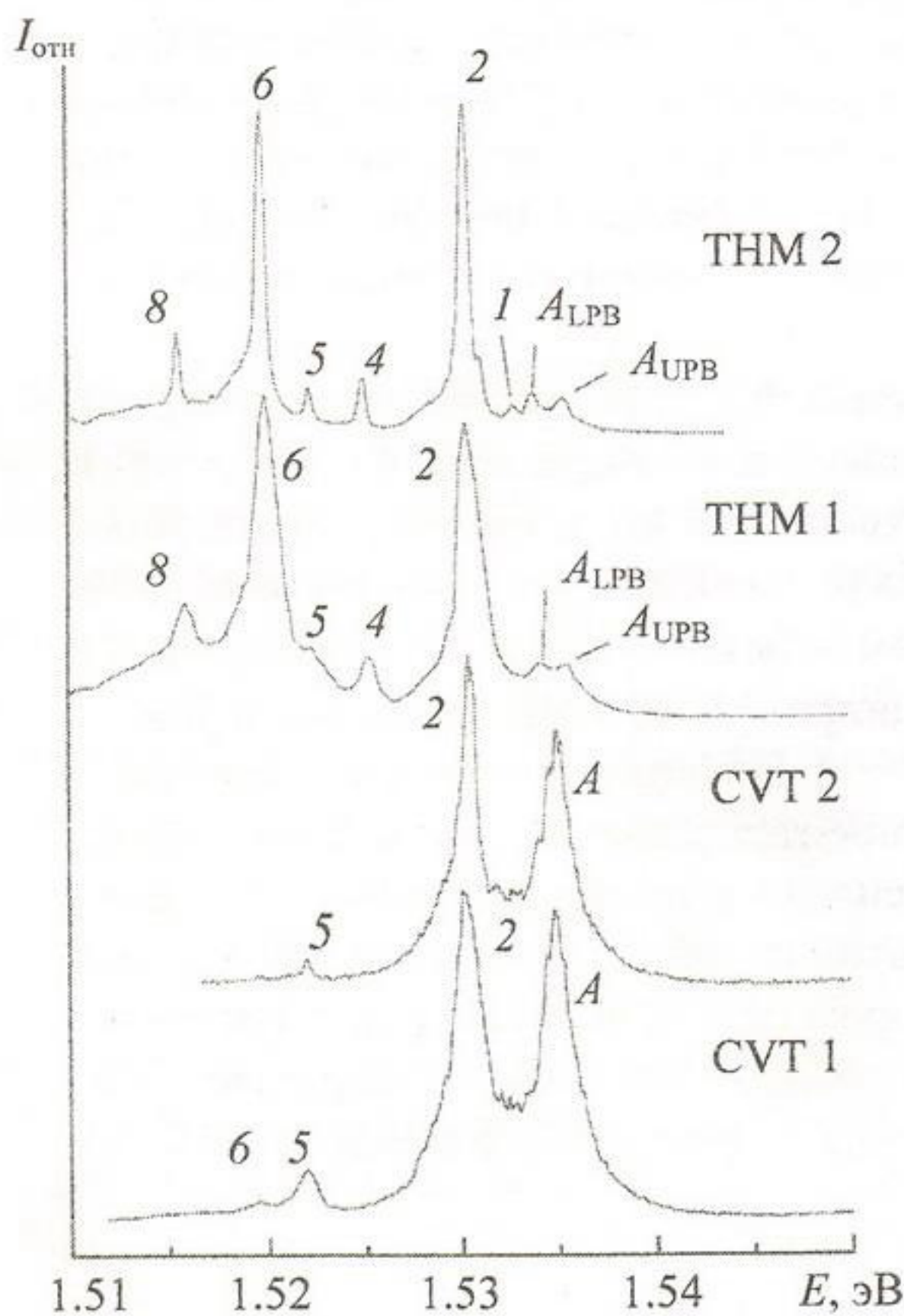


Рис. 2. Спектры фотолюминесценции монокристаллов CuInS_2 , выращенных методами CVT и THM; $T = 4.2$ К; спектральное разрешение 0.2 мэВ

Тонкая структура близкрайевой люминесценции, соответствующая рекомбинации свободных и связанных экстонов для двух кристаллов, выращенных методом CVT, и двух кристаллов, выращенных методом THM, показана на рис. 2. Как видно, спектры ФЛ CVT-монокристаллов содержат свой набор узких линий связанных экстонов с определенным соотношением их относительных интенсивностей, а спектры ФЛ THM-монокристаллов характеризуются несколько другим набором линий и другой относительной интенсивностью. В частности, спектры ФЛ CVT-монокристаллов не содержат линий 1, 4 и 8 связанных экстонов. Нами исследовано более 20 образцов, полученных каждым из двух используемых методов выращивания (THM и CVT). Основные отличия спектров ФЛ монокристаллов в зависимости от используемой технологии роста сводятся к следующему. Интенсивность люминесценции THM-монокристаллов CuInS_2 приблизительно на порядок больше интенсивности люминесценции CVT-монокристаллов. Это свидетельствует, по нашему мнению, о наличии в CVT-монокристаллах более эффективных каналов безызлучательной рекомбинации. Однако исследования показали, что CVT-материал обладает более высокой интенсивностью линий свободных A -экстонов. Практически для всех исследуемых CVT-криスタлов наблюдается сравнимая по интенсивности люминесценция свободных и связанных экстонов, в то время как в спектрах ФЛ THM-образцов доминирует люминесценция, обусловленная связанными экстонами (линии 2 и 6). Интенсивность линии 6 связанных экстонов всегда мала для CVT-криスタлов, и в спектрах доминируют линия 2 связанных экстонов и линия свободных A -экстонов (рис. 2). Для THM-монокристаллов интенсивность линии свобод-

ных *A*-эксситонов меньше интенсивности линий связанных эксситонов. В случае очень высокой интенсивности линии 2 связанных эксситонов нам удалось разрешить в спектрах ФЛ тонкую структуру свободных эксситонов — линии A_{LPB} 1.5347 эВ и A_{UPB} 1.5362 эВ, связанные с нижней и верхней поляритонными ветвями свободных *A*-эксситонов [8, 13, 18]. Как известно, эксситон-фотонное (поляритонное) взаимодействие может быть охарактеризовано продольно-поперечным расщеплением Δ_{LT}^A основного состояния *A*-эксситона, величина которого соответствует максимально наблюдаемому спектральному разделению между двумя линиями поляритонных ветвей A_{LPB} и A_{UPB} . На основании экспериментально наблюдаемого продольно-поперечного расщепления Δ_{LT}^A можно оценить вклад *A*-эксситонов в поляризумость CuInS₂ с использованием следующего соотношения [19]:

$$\Delta_{LT}^A = E_T^A \left(\sqrt{1 + \frac{4\pi\alpha_A}{\epsilon}} - 1 \right) \approx E_T^A \frac{4\pi\alpha_A}{2\epsilon},$$

где E_T^A — энергетическое положение линии свободных эксситонов A_{LPB} , относящихся к нижней поляритонной ветви. Принимая во внимание наблюдаемое расщепление $\Delta_{LT}^A = 1.5$ мэВ и диэлектрическую проницаемость $\epsilon = 10.2$ для CuInS₂, оцененную в [18], находим поляризумость $4\pi\alpha_A \approx 2 \cdot 10^{-2}$. Полученное в настоящей работе из измерения люминесценции значение поляризумости хорошо согласуется со значениями, найденными из измерения отражения в области эксситонных резонансов для *A*-эксситона ($\sim 10^{-2}$) и *BC*-эксситонов ($\sim 2 \cdot 10^{-2}$) [20]. Отметим, что близкие вклады свободных *A*-эксситонов в поляризумость найдены для других полупроводниковых соединений со структурой халькопирита: AgGaS₂ $4\pi\alpha_A \approx 1.5 \cdot 10^{-3}$ [21] и CuGaS₂ $4\pi\alpha_A \sim 10^{-2}$ [22]. При этом обращает на себя внимание более высокая поляризумость в соединениях CuInS₂ по сравнению с полупроводниками A^{III}B^V—CdS ($4\pi\alpha_A \approx 1.4 \cdot 10^{-3}$), ZnO ($\sim 7.7 \cdot 10^{-3}$) и ZnSe ($\sim 6 \cdot 10^{-3}$), которые являются бинарными аналогами халькопиритных соединений по строению энергетической зонной структуры [22]. Это может быть объяснено более сильным проявлением ионного характера связи в трехкомпонентных соединениях CuInS₂ по сравнению с двухкомпонентными полупроводниками группы A^{III}B^V.

Полуширина линий свободных *A*-эксситонов в CVT-криSTALLах составляла ~ 1.8 мэВ при 4.2 К, что близко к полуширине линий 1.6—1.8 мэВ свободных *A*-эксситонов в спектрах ФЛ THM-криSTALLов. Еще одной отличительной особенностью CVT-криSTALLов является то, что энергия связи свободных эксситонов, оцениваемая нами по энергетическому положению линий основного $A(n=1) = 1.5351$ эВ и первого возбужденного состояния $A(n=2) = 1.5499$ эВ, составляла $E_{ex} = 4/3 [E_{A(n=2)} - E_{A(n=1)}] = 19.7 \pm 0.5$ мэВ, в то время как для THM-криSTALLов энергия связи свободных эксситонов была несколько ниже: $E_{ex} = 18.5 \pm 0.5$ мэВ (рис. 1, см. также [18]). Найденная нами энергия связи свободных эксситонов E_{ex} для соединения CuInS₂ соответствует теоретически ожидаемому в рамках водородоподобного приближения значению $E_{ex} = 13.6\mu/\epsilon^2 = 18.6$ мэВ, где $\mu = m_e m_h / (m_e + m_h)$ — приведенная масса свободного *A*-эксситона с эффективной массой электрона $m_e = 0.16m_o$ и дырки $m_h = 1.3m_o$ [23].

Обращает на себя внимание различие полуширин линий связанных эксситонов для разных криSTALLов в зависимости от метода выращивания (рис. 2). Так, наименьшая полуширина линий связанных эксситонов для криSTALLов THM 2 составляет ≈ 0.5 мэВ при 4.2 К, в то время как для образцов THM 1 1.0—1.5 мэВ. Отметим, что образцы THM 1 и THM 2 сколоты от разных частей одного и того же слитка. Аналогичное различие в полуширине линий связанных эксситонов наблюдается для CVT-криSTALLов, находящихся в разных местах зоны кристаллизации. Так, для криSTALLов CVT 2 полуширина линии связанных эксситонов ≈ 0.9 мэВ, а для криSTALLа CVT 1 ≈ 1.7 мэВ. По нашему мнению, различие полуширин линий свободных и связанных эксситонов и разброс спектрального положения линий свободных и связанных эксситонов от криSTALLа к криSTALLу (исследовано 40 образцов) в пределах 0.3—0.4 мэВ обусловлены различным характером внутренних напряжений CVT- и THM-криSTALLов, а также разным набором и концентрацией собственных структурных (ростовых) дефектов, образующихся из-за отклонения состава от стехиометрии. Тем не менее полуширины линий свободных и связанных эксситонов при 4.2 К —

наименьшие из известных на сегодняшний день для соединения CuInS₂, что свидетельствует о высоком качестве выращенных монокристаллов.

Заключение. С использованием люминесценции как неразрушающего метода контроля технологии установлено, что методы направленной кристаллизации и кристаллизации из газовой фазы позволяют выращивать самые высококачественные на сегодняшний день монокристаллы CuInS₂. Эксперименты показали, что оба типа монокристаллов CuInS₂ характеризуются интенсивной люминесценцией свободных и связанных экситонов в области края собственного поглощения. Установлено, что контроль полуширины линий люминесценции свободных и связанных экситонов при криогенных температурах является эффективным способом оценки качества и структурного совершенства выращенных монокристаллов CuInS₂. Впервые обнаружены возбужденные состояния свободных *A*-экситонов в монокристаллах, выращенных из газовой фазы, и проведено прямое определение из этих оптических измерений энергии связи экситонов $E_{ex} \sim 19.7 \pm 0.5$ мэВ, что ранее было сделано для кристаллов, выращенных методом направленной кристаллизации [18].

Работа выполнена при поддержке Белорусского республиканского фонда фундаментальных исследований (проект Ф07МС-28) и EPSSRC (проект EP/E026451/1).

- [1] R.Scheer, T.Walter, H.W.Schoock, M.L.Fearheiley, H.J.Lewerenz. Appl. Phys. Lett., **63** (1993) 3294—3296
- [2] K.Siemer, J.Klaer, I.Luck, J.Bruns, R.Klenk, D.Bräunig. Sol. Energy Mater. Sol. Cells, **67** (2001) 159—166
- [3] R.Klenk, J.Klaer, R.Scheer, M.Ch.Lux-Steiner, I.Luck, N.Meyer, U.Rühle. Thin Solid Films, **480/481** (2005) 509—514
- [4] J.Klaer, J.Bruns, R.Henninger, K.Siemer, R.Klenk, K.Ellmer, J.Braunig. Semicond. Sci. Technol., **13** (1998) 1456—1458
- [5] H.J.Hsu, M.H.Yang, R.S.Tang, T.M.Hsu, H.L.Hwang. J. Cryst. Growth, **70** (1984) 427—432
- [6] H.L.Hwang, C.Y.Sun, C.Y.Leu, C.L.Cheng, C.C.Tu. Rev. Phys. Appl., **13** (1978) 745—751
- [7] H.W.Spiess, U.Haeberlen, G.Brandt, A.Bauber, I.Schneider. Phys. Status Solidi (b), **62** (1974) 183—192
- [8] M.V.Yakushev, A.V.Mudryi, Y.Feofanov, A.V.Ivaniukovich, I.V.Viktorov. Thin Solid Films, **511-512** (2006) 130—134
- [9] M.V.Yakushev, A.V.Mudryi, I.V.Viktorov, J.Krustok, E.Mellikov. Appl. Phys. Lett., **88** (2006) 011922-1—011922-3
- [10] А.В.Мудрый, А.В.Иванюкович, М.В.Якушев, Р.Мартин, А.Саад. Журн. прикл. спектр., **74**, № 3 (2007) 373—377
- [11] J.M.Binsma, L.J.Giling, J.Bloem. J. Lumin., **27** (1982) 55—72
- [12] B.Tell, J.L.Shay, H.M.Kasper. Phys. Rev. B, **4** (1974) 2463—2471
- [13] K.Yoshino, T.Ikari, S.Shirakata, H.Miyake, K.Hiramatsu. Appl. Phys. Lett., **78** (2001) 742—744
- [14] K.Wakita, G.Hu, N.Nakayama, D.Shoji. Jpn. J. Appl. Phys., **41** (2002) 3356—3357
- [15] P.W.Yu. J. Appl. Phys., **47** (1975) 677—684
- [16] N.Yamamoto, H.Horinaka, T.Miyauchi. Jpn. J. Appl. Phys., **18** (1979) 255—259
- [17] A.V.Mudryi, M.V.Yakushev, R.D.Tomlinson, I.V.Bodnar, I.A.Viktorov, V.F.Gremenok, A.E.Hill, R.D.Pilkington. Appl. Phys. Lett., **72** (2000) 2542—2544
- [18] M.V.Yakushev, R.W.Martin, A.V.Mudryi, A.V.Ivaniukovich. Appl. Phys. Lett., **92** (2008) 111908-1—111908-3
- [19] F.Askary, P.Y.Yu. Solid State Commun., **47** (1983) 241—246
- [20] J.L.Shay, B.Tell, H.M.Kasper, L.M.Shiavone. Phys. Rev. B, **5** (1972) 5003—5005
- [21] B.Tell, J.L.Shay, H.M.Kasper. Phys. Rev. B, **6** (1972) 3008—3012
- [22] J.L.Shay, J.H.Wernik. Ternary and Chalcopyrite Semiconductors: Growth, Electronic Properties and Application, Oxford, Pergamon Press (1975)
- [23] D.C.Look, J.C.Manthuruthil. J. Phys. Chem. Sol., **37** (1976) 173—180